

Experimentelle Physik I

WS 16/17

Veranstaltung 4010011

<https://campus.studium.kit.edu/event/H7Ke2neVDU6OCiWVculqYw>

PD Dr. Andreas B. Meyer (KIT und DESY)

28. Vorlesung:

6.2 Schwingungen und Wellen (5): Doppler-Effekt, Überlagerung von Wellen

Zusammenfassung

6.2.1. Die Wellengleichung

Saitenschwingung (1D):

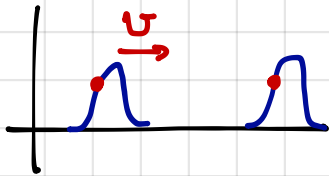
$$F \frac{\partial^2 z}{\partial x^2} = \mu \frac{\partial^2 z}{\partial t^2}$$

$$\omega = k \cdot \sqrt{\frac{F}{\mu}}$$

Wasserwellen (Versuch und Simulation)

Ebene Wellen, Kreiswellen, Interferenz

6.2.2. Phasengeschwindigkeit



festes Punkt auf Welle

$$z(x, t) = z_0 \cdot \sin(kx - \omega t)$$

$\hat{=}$

Phase

• $kx - \omega t = \text{const} \Rightarrow$

$$v_{ph} = \frac{\omega}{k}$$

• Mit $k\lambda = \omega T \Rightarrow$

$$v_{ph} = \lambda \cdot \nu$$

\Rightarrow

$$k = \frac{2\pi}{\lambda}$$

Wellenzahl

6.2.3 Energie und Intensität von Wellen

Energiedichte: $\frac{dE}{dx} = \frac{dE_k}{dx} + \frac{dE_p}{dx}$

Intensität:
(Energieflussdichte) $I = \frac{\text{Energie}}{\text{Oberfläche} \cdot \text{Zeit}}$

} $\propto (\text{Amplitude})^2$ und ω^2

Beispiel, Kugelwelle (3D): Amplitude $\propto \frac{1}{r}$, da Fläche $\propto r^2$

6.2.4 Schallwellen

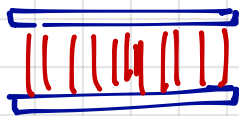
Allgemein: $v = \sqrt{\alpha \cdot \frac{p_0}{\rho}}$

nichtideales Gas: 1,4

Versuch: Messung der Schallgeschwindigkeit.

Stehende Wellen (Beispiel Pfeife)

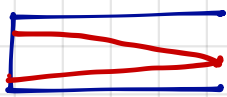
1.) beide Seiten offen: Enden auf Außendruck



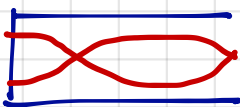
niedrigste Mode λ_1

$$\lambda_n = \frac{2L}{n}$$

3.) Eine Seite geschlossen



$$\lambda_1 = 4L$$



$$\lambda_2 = \frac{4}{3}L$$

$$\lambda_n = \frac{4}{2n-1}L$$

Versuch: Tonfrequenz erniedrigt

6.2.5. Doppler-Effekt

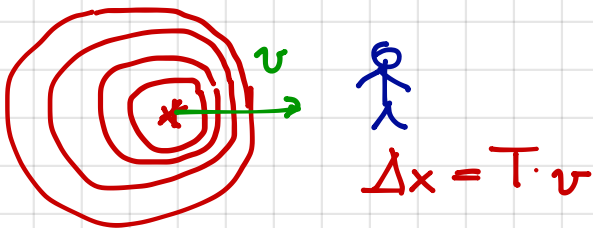
C. Doppler
1803-1853

Wellen mit (rel. zum Medium) bewegten Quellen oder Beobachtern
→ Vier prinzipiell unterscheidbare Fälle

a) Quelle bewegt sich, Empfänger ruht

1.) (Q →) E

$$\begin{aligned}\lambda' &= \lambda - \Delta x \\ &= \lambda - v \cdot T \\ &= \frac{c - v}{v}\end{aligned}$$



$$v' = \frac{c}{\lambda'} = \frac{c}{c - v} \cdot v = \frac{1}{1 - \frac{v}{c}} \cdot v \quad v' > v$$

2.) (← Q) E

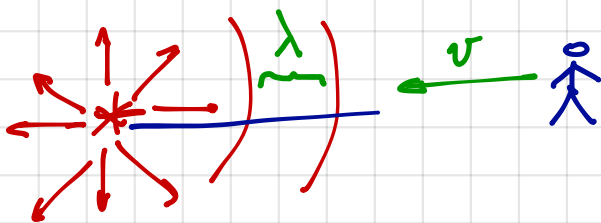
$$v' = \frac{1}{1 + \frac{v}{c}} \cdot v \quad v' < v$$

⇒ Versuch: Bewege Quelle

b) Quelle ruht, Empfänger bewegt sich

1.) Q (← E)

⇒ sieht mehr Wellen pro Zeit



$$c' = c + v \quad v' > v$$

$$v' = \frac{c'}{\lambda} = \frac{c + v}{\lambda} = v \left(1 + \frac{v}{c}\right)$$

2.) Q (E →)

$$v' = v \cdot \left(1 - \frac{v}{c}\right) \quad v' < v$$

Vergleich:

$$a) \quad Q (\leftarrow E) : \quad v' = v \cdot \left(1 + \frac{v}{c}\right)$$

$$b) \quad (Q \rightarrow) E : \quad v' = \frac{v}{\left(1 - \frac{v}{c}\right)}$$

Entwicklung: $v/c = x$

$$a) \quad (1+x)$$

$$b) \quad \frac{1}{(1-x)} = \sum_{k=0}^{\infty} x^k = x^0 + x + x^2 + \dots$$

Geometrische Reihe

$$\approx 1 + x$$

unterscheidbar um $\left(\frac{v}{c}\right)^2$

c) Q und E bewegen sich in ruhenden Medium auf einander zu

(Q →) (← E)

$$v' = v \cdot \frac{c + v_E}{c - v_Q}$$

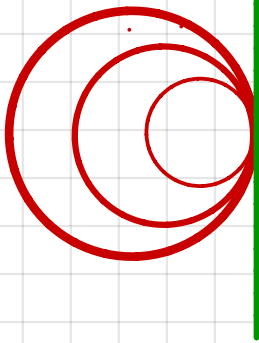
Vergleich Relativitätstheorie:

Kein Medium (Äther etc.)

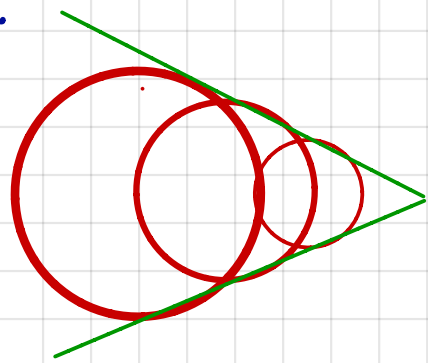
$$v' = v_Q \cdot \sqrt{\frac{c + u}{c - u}}$$

d) Überschall: (Q →) E

$$v_Q = c$$



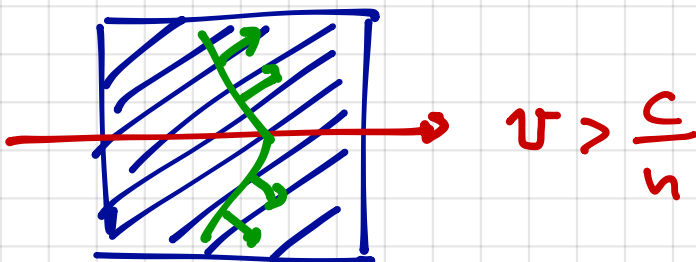
$$v_Q > c$$



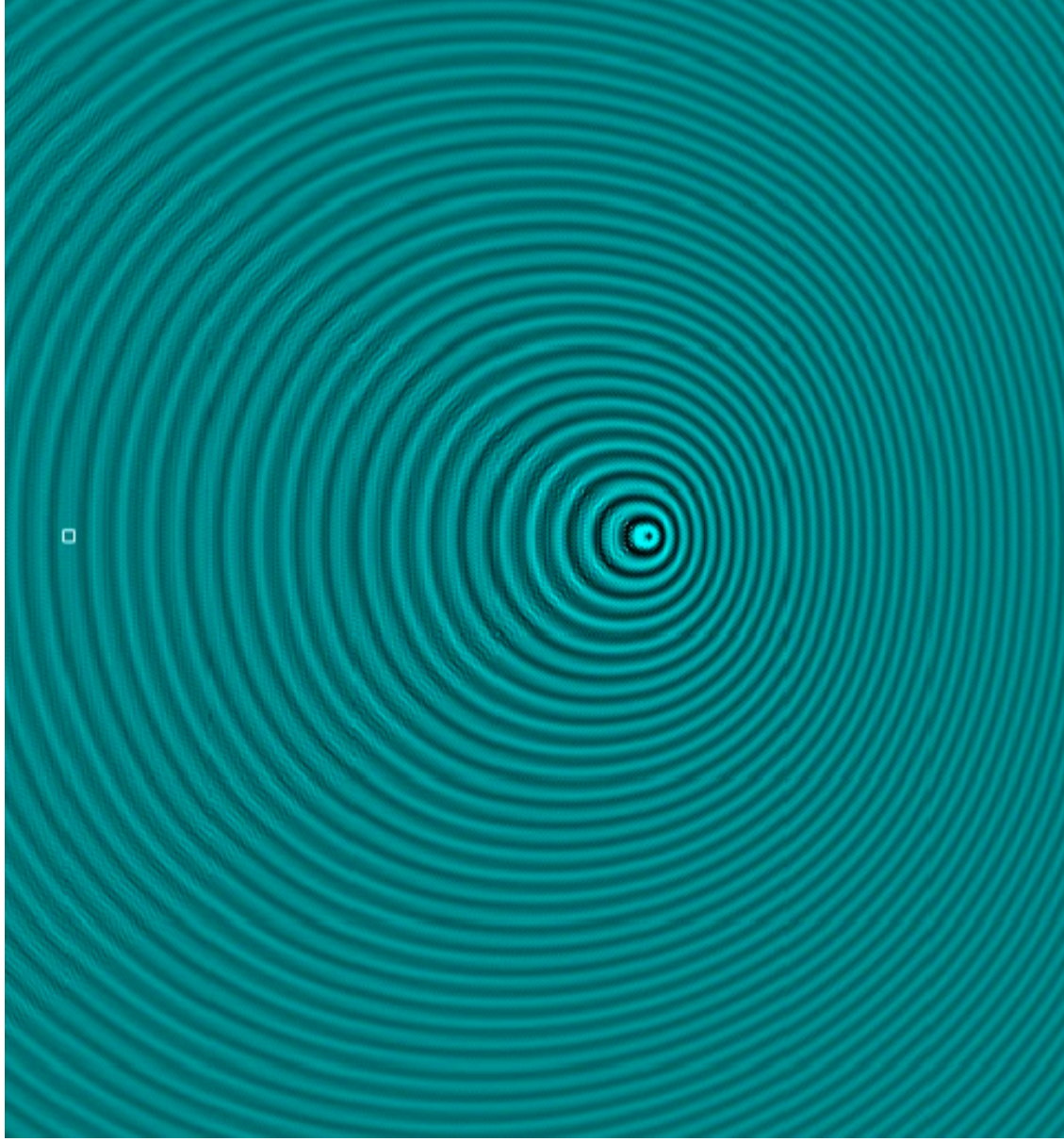
„Überschallkegel“ ⇒ Knall

Analog: Čerenkov-Licht:

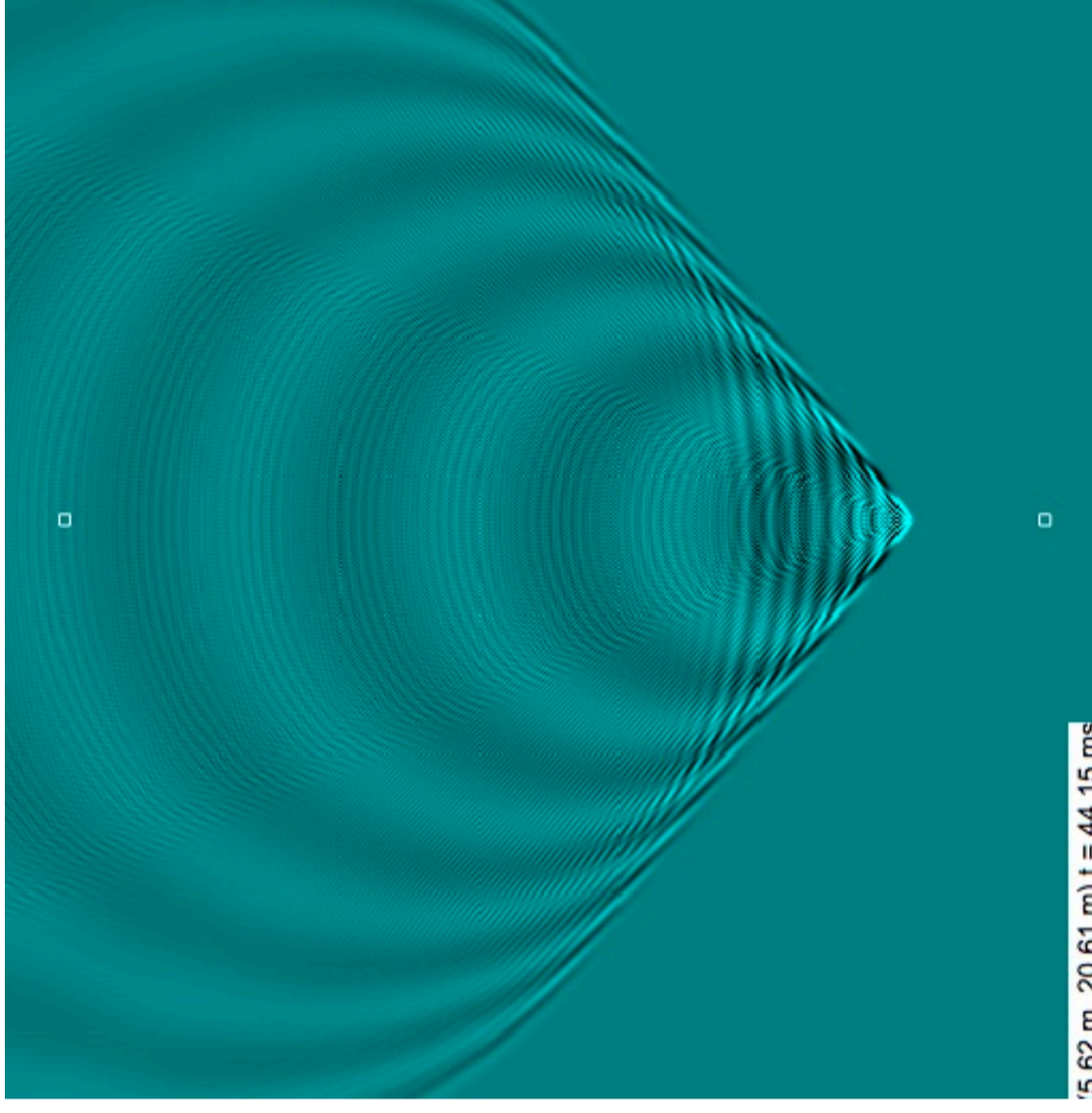
$$c_{\text{Medium}} = \frac{c_{\text{Vakuum}}}{n}$$



Doppler-Effekt



Überschallknall



<http://falstad.com/ripple/>

6.2.6 Überlagerung von Wellen

1) Allgemeines Superpositionsprinzip
für Lösungen homogener linearer DGL

Wenn $z_1(x,t)$ und $z_2(x,t)$ Wellenfunktionen sind,
dann auch $a \cdot z_1(x,t) \pm b z_2(x,t)$ mit $a, b \in \mathbb{R}$

Beispiel: zwei laufende Wellen

$$z_1(x,t) = z_0 \cdot \cos(k_1 x - \omega_1 t)$$

$$z_2(x,t) = z_0 \cos(k_2 x - \omega_2 t)$$

$$z(x,t) \equiv z_1 + z_2$$

Additionstheorem:

$$\cos \alpha + \cos \beta = 2 \cos \frac{\alpha + \beta}{2} \cdot \cos \frac{\alpha - \beta}{2}$$

$$= 2 z_0 \cdot \cos(kx - \omega t) \cdot \cos(\Delta k x - \Delta \omega t)$$

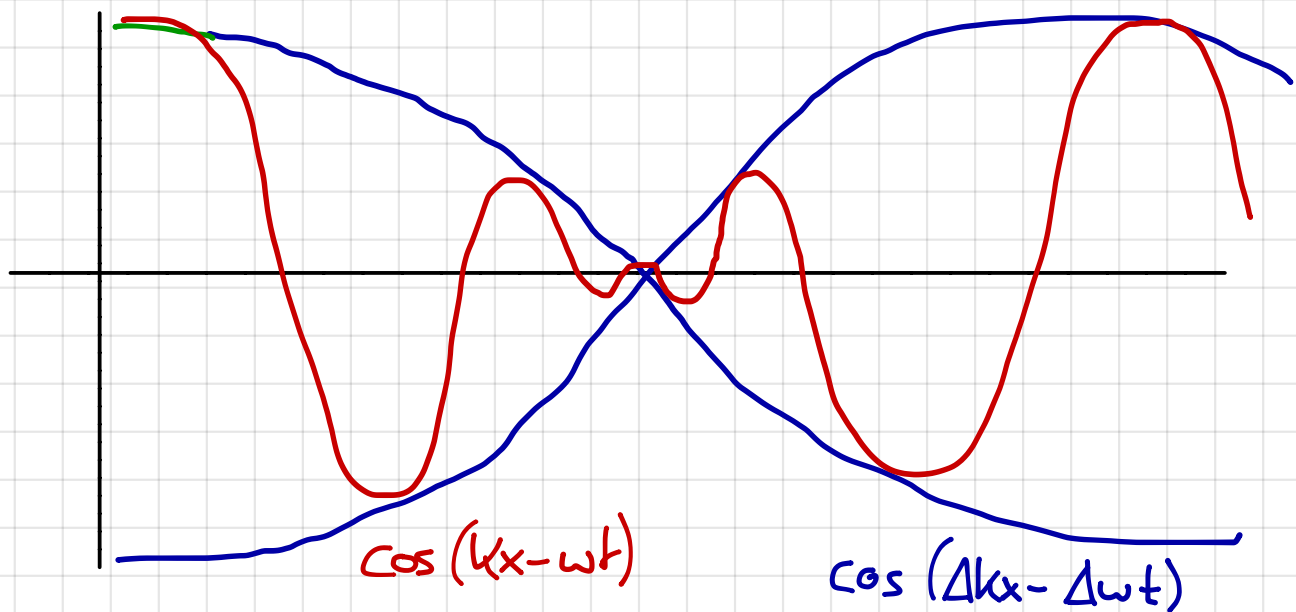
$$\omega = \frac{\omega_1 + \omega_2}{2}$$

$$\Delta \omega = \frac{\omega_1 - \omega_2}{2}$$

$$k = \frac{k_1 + k_2}{2}$$

$$\Delta k = \frac{k_1 - k_2}{2}$$

Modulation der Amplitude



Phasengeschwindigkeit: $kx - \omega t = \text{const}$ $v_{ph} = \frac{\omega}{k}$

Gruppengeschwindigkeit $\Delta kx - \Delta \omega t = \text{const}$,

$$\frac{dx}{dt} = \frac{\Delta \omega}{\Delta k} = v_{gr}$$

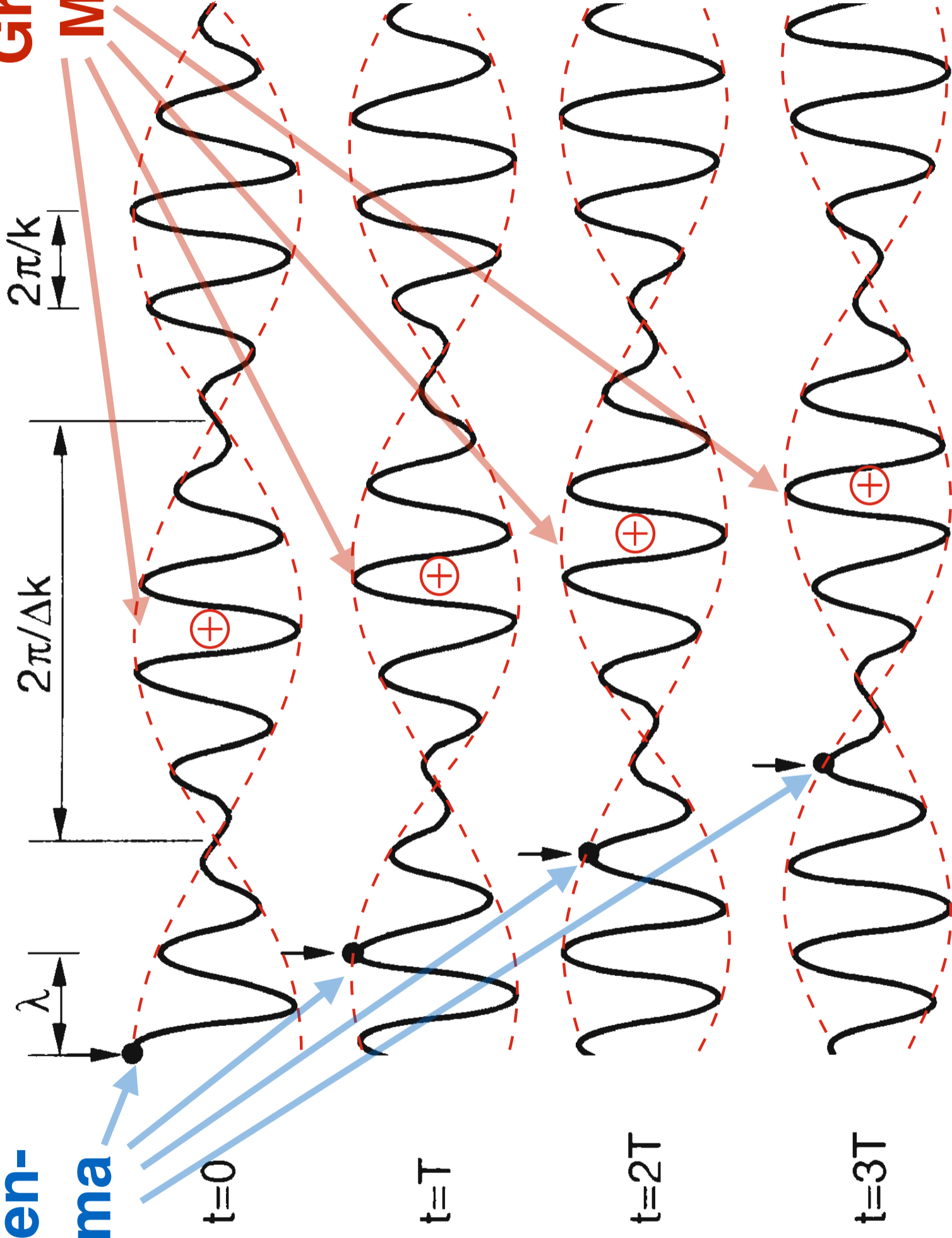
In Medien kann Frequenz ω von Wellenlänge k abhängen

$$\omega = \omega(k) \quad (\text{Dispersionsrelation})$$

Dann ist $v_{ph} \neq v_{gr}$

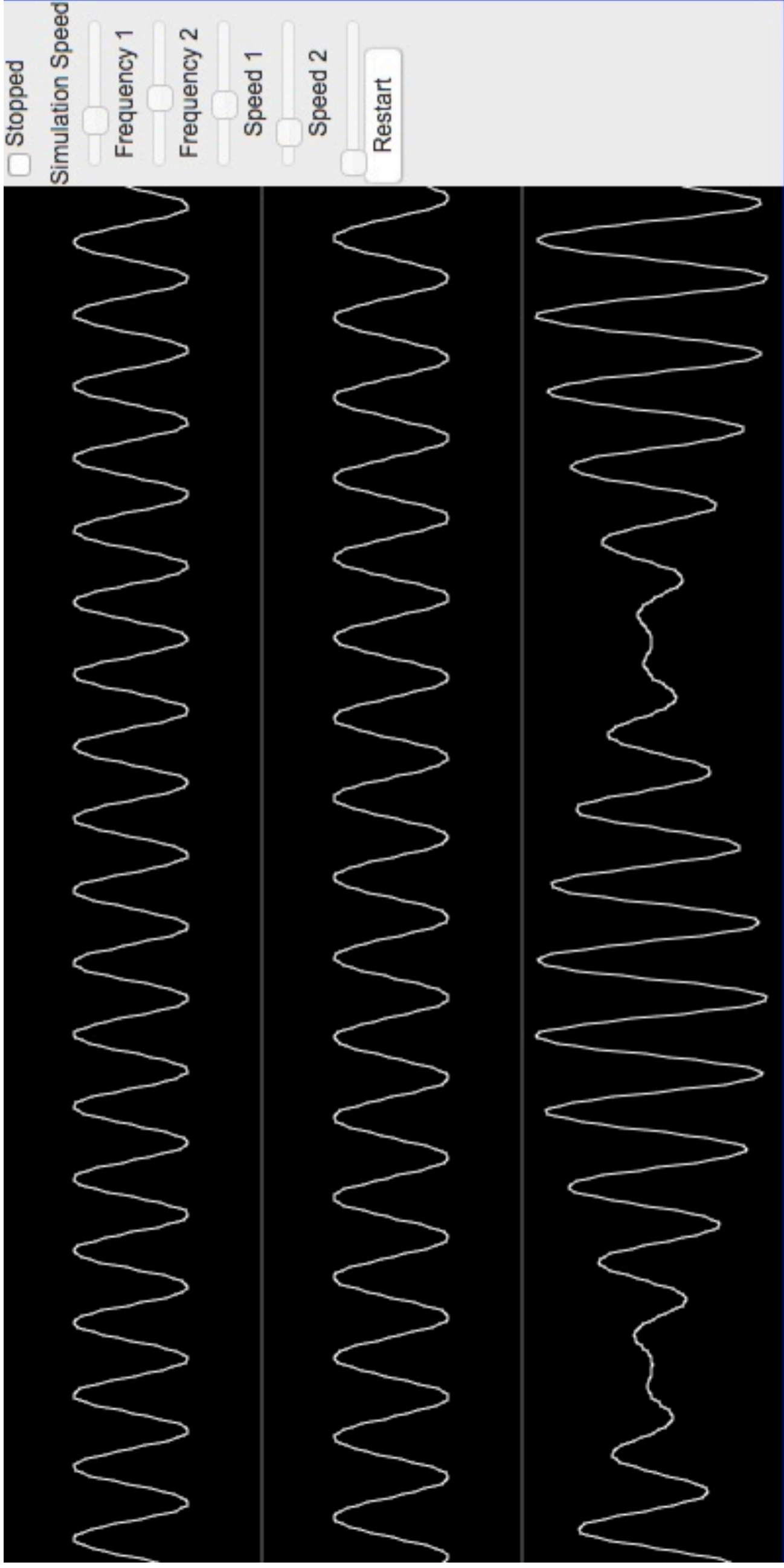
**Phasen-
Maxima**

**Gruppen-
Maxima**



a)

$V_{\text{Phase}} > V_{\text{Gruppe}}$



<http://www.falstad.com/dispersion/>

Bei geeigneter Überlagerung vieler Wellen:

→ einzelne Wellenpakete

⇒ Q.M.

Bestimmung von v_{Gr} :

$$\Delta k x - \Delta \omega t = \text{const.}$$

$$\frac{d}{dt} (\Delta k x - \Delta \omega t) = 0 \Rightarrow \frac{\Delta \omega}{\Delta k} = v_{Gr}$$

Für Wellenpaket mit vielen
nah beieinander liegenden

$$v_{Gr} = \frac{d\omega}{dk}$$

Frequenzen:

$$v_{Gr} = \frac{d\omega}{dk} = \frac{d}{dk} (v_{Ph} \cdot k) = v_{Ph} + k \frac{dv_{Ph}}{dk}$$

≠ 0, falls $v_{Ph} = v_{Ph}(k)$

⇒ $v_{Gr} \neq v_{Ph}$, falls v_{Ph} abhängig von k , $v_{Ph} = v_{Ph}(k)$

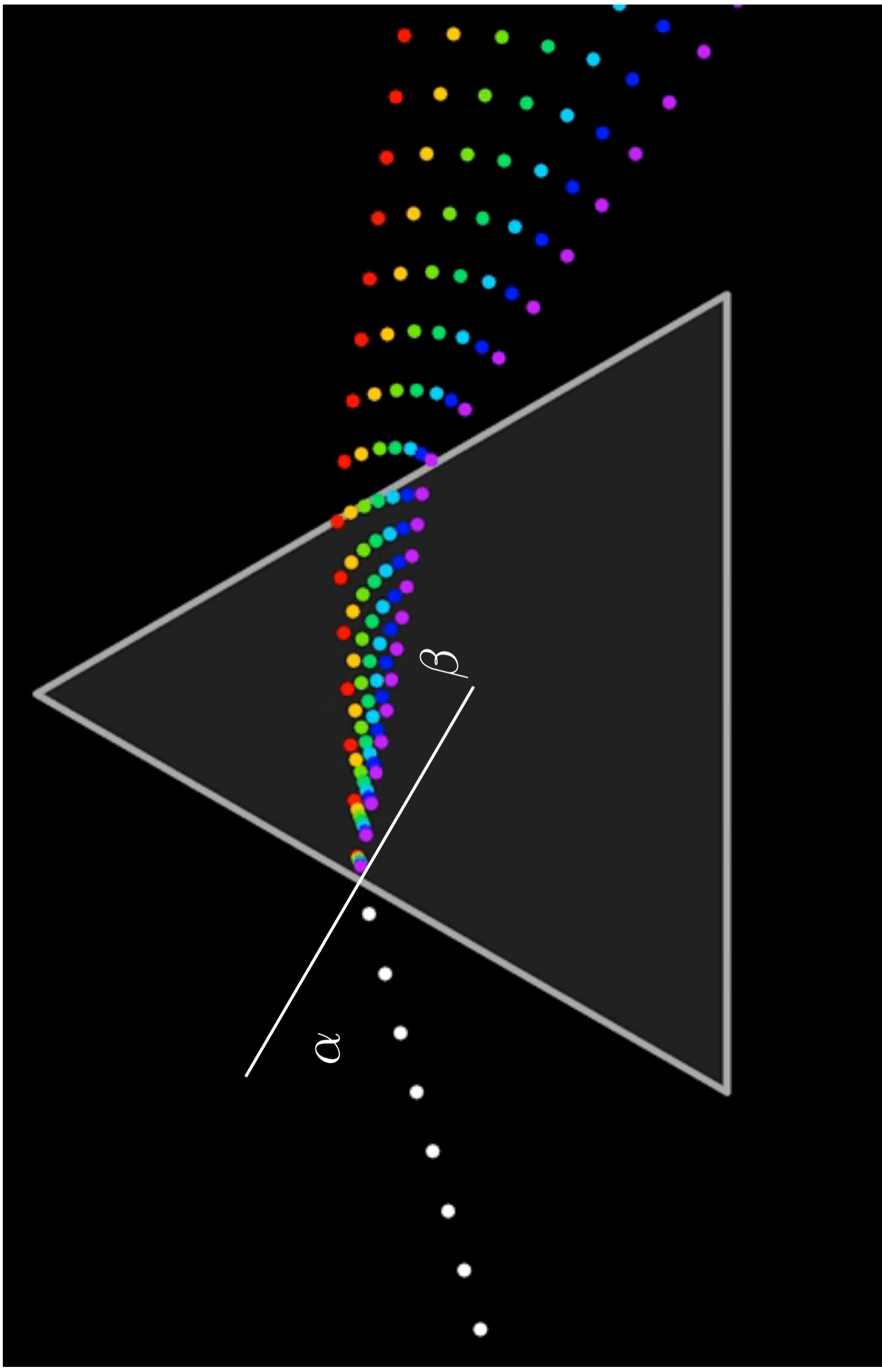


$$\omega = \omega(k)$$

Dispersion existiert in den meisten Medien

Beispiel: Licht durch Prisma

Beispiel: Frequenzabhängige Lichtgeschwindigkeit in Medien



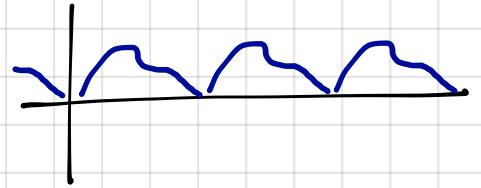
$$\frac{\sin \alpha}{\sin \beta} = \frac{c_1}{c_2}$$

Snellius

2) Fourier-Analyse

Jede periodische Funktion kann durch Superposition von harmonischen Wellen beschrieben werden.

$$f(t) = a_0 + \sum_{n=1}^{\infty} a_n \cdot \cos(n \cdot \omega t) + \sum_{n=1}^{\infty} b_n \sin(n \omega t)$$

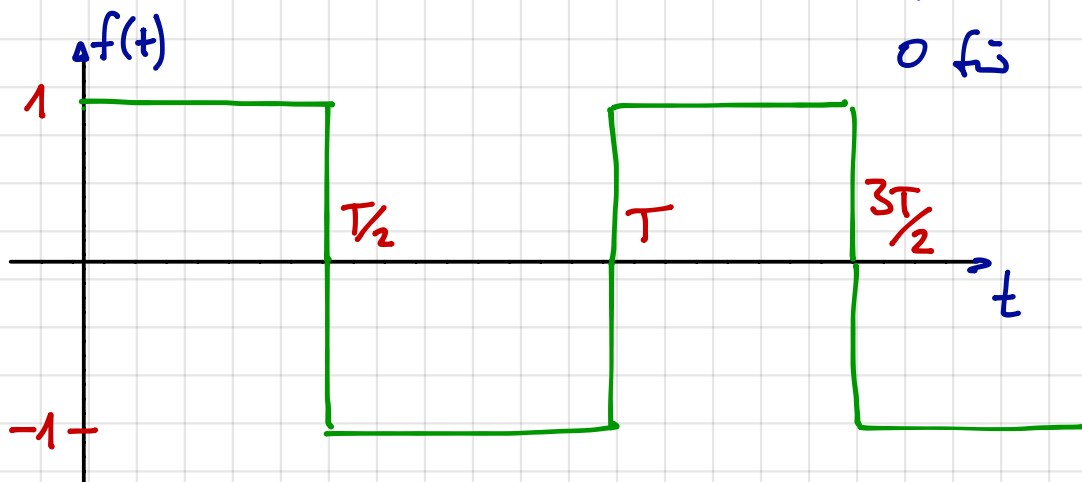


Bestimmung der Koeffizienten a_n und b_n

$$a_n = \frac{2}{T} \int_0^T f(t) \cos(n \omega t) dt$$

$$b_n = \frac{2}{T} \int_0^T f(t) \sin(n \omega t) dt$$

Beispiel: Rechteckfunktion $f(t) = 1$ für $t = 0 \dots T/2$
 -1 für $t = T/2 \dots T$
 0 für $t = T/2, T, \dots$



Berechnung der Koeffizienten der Rechteckfunktion

$$\begin{aligned} a_n &= \frac{2}{T} \left(\int_0^{T/2} \cos(n\omega t) dt - \int_{T/2}^T \cos(n\omega t) dt \right) \\ &= 0 \text{ für alle } n \\ &= \frac{2}{T} \frac{1}{n\omega} \left(\sin(n\omega t) \Big|_0^{T/2} - \sin(n\omega t) \Big|_{T/2}^T \right) \quad T = \frac{2\pi}{\omega} \\ &= \frac{1}{n\pi} \cdot (\sin n\pi - \sin 0 + \sin n2\pi - \sin n\pi) = 0 \end{aligned}$$

Keine Beiträge von geraden Funktionen

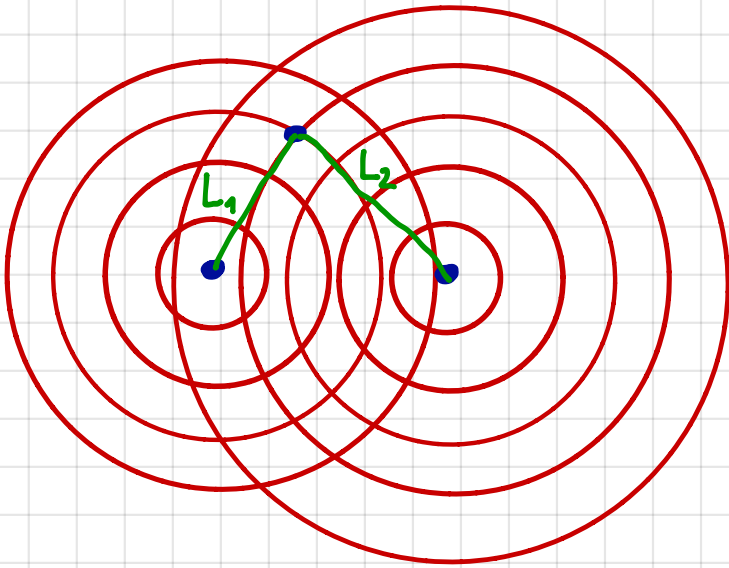
$$\begin{aligned} b) &= \frac{2}{\pi} \left(\int_0^{T/2} \sin(n\omega t) dt - \int_{T/2}^T \sin(n\omega t) dt \right) \\ &= \frac{2}{n \cdot \pi} \cdot \left(1 - \underbrace{\cos n\pi}_{\substack{=-1 \text{ für } n=1,3,\dots \\ =1 \text{ für } n=2,4,\dots}} \right) \\ &= \frac{4}{n \cdot \pi} \text{ für } n \text{ ungerade} \end{aligned}$$

The image shows a software interface for signal processing. At the top, there is a menu of waveforms: Sine, Cosine, Triangle, Sawtooth, Square, Noise, Phase Shift, Clip, Resample, Quantize, Rectify, Full Rectify, High-Pass Filter, Clear, Sound, Mag/Phase View, and Log View. Below the menu, there are sliders for 'Number of Terms' and 'Playing Frequency', and a URL 'http://www.falstad.com'.

The main display area is divided into two sections: 'Sines' and 'Cosines'. The 'Sines' section shows a red square wave on a grid. The 'Cosines' section shows a series of white dots representing the Fourier series approximation of the square wave. The dots are arranged in a pattern that converges to the square wave, with a dashed line indicating the original square wave's shape.

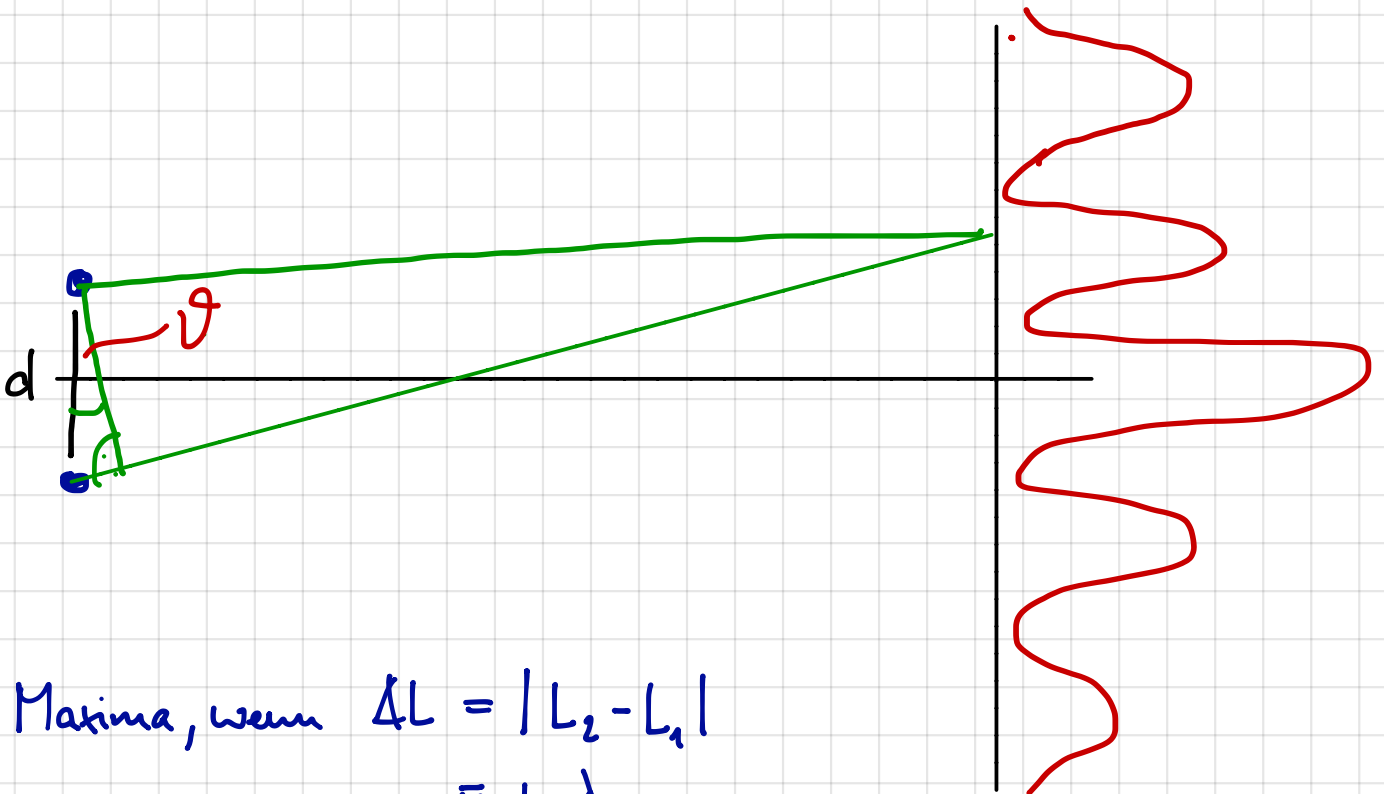
<http://falstad.com/fourier/>

3.) Interferenz von Wellen



Positive Interferenz
für $L_1 = L_2 \pm n \cdot \lambda$

Negative Interferenz
für $L_1 = L_2 \pm \frac{2n+1}{2} \lambda$



$$\begin{aligned} \text{Maxima, wenn } \Delta L &= |L_2 - L_1| \\ &= n \cdot \lambda \\ &= d \cdot \sin \vartheta \end{aligned}$$

Anwendung: Bestimmung von λ